

بِسْمِ اللّٰهِ الرَّحْمٰنِ الرَّحِيْمِ



دانشگاه ولی‌عصر(عج) رفسنجان

دانشکده‌ی علوم

گروه فیزیک

پایان‌نامه‌ی کارشناسی ارشد

رشته‌ی فیزیک گرایش حالت جامد

سنتز نانوذرات کادمیم تلوراید با تابش امواج مایکروویو و بررسی خواص
اپتیکی آن‌ها

استاد راهنما

دکتر مهدی ملایی

استاد مشاور

دکتر مسعود کریمی پور

نگارنده

حليمه هاشمي نژاد

۹۳ مهر

تمامی حقوق مادی مترتب بر نتایج مطالعات، ابتکارات و نوآوری‌های
حاصل از پژوهش موضوع این پایان‌نامه، متعلق به دانشگاه
ولی‌عصر (عج) رفسنجان است



دانشگاه ولی‌عصر(عج) رفسنجان

دانشکده‌ی علوم پایه

گروه فیزیک

پایان‌نامه‌ی کارشناسی ارشد
رشته‌ی فیزیک گرایش حالت جامد
حليمه هاشمی نژاد

سنتر نانوذرات کادمیم تلوراید با تابش امواج مایکروویو و بررسی خواص
اپتیکی آن‌ها

در تاریخ ۹۳/۷/۸ توسط هیأت داوران زیر بررسی و با درجه‌ی به تصویب نهایی رسید.

۱- استاد راهنمای پایان‌نامه **دکتر مهدی ملایی** با مرتبه‌ی علمی استادیار

۲- استاد مشاور پایان‌نامه **دکتر مسعود کریمی‌پور** با مرتبه‌ی علمی استادیار

۳- استاد داور داخل گروه **محمد خان‌زاده** با مرتبه‌ی علمی استادیار

۴- استاد داور داخل گروه **دکتر احمدی** با مرتبه‌ی علمی استادیار

۵- نماینده‌ی تحصیلات تکمیلی **دکتر روح‌ا... صابری** با مرتبه‌ی علمی استادیار

چکیده

در این پژوهش ویژگی‌های نورتابی نانوذرات CdTe (کادمیم تلوراید) و نانوذرات هسته-پوسته CdTe@CdS بررسی شده است. نانوذرات CdTe@CdS و CdTe با استفاده از یک واکنش فعال شده با تابش مایکروویو سنتر شده‌اند. آنالیز پراش پرتوی ایکس (XRD) برای هر دو نانوذرات سنتز شده، ساختار کریستالی مکعبی را نشان داد، اما قله‌های پراش پرتو ایکس نانوذرات CdTe@CdS به سمت زوایای بزرگتر جابجا شدند. با استفاده از تصاویر میکروسکوپ الکترونی عبوری (TEM)، اندازه نانوذرات CdTe@CdS و CdTe به ترتیب در حدود $2/5\text{nm}$ و $3/5\text{nm}$ به‌دست آمد. در این روش، طیف جذبی (UV-Vis) و فوتولومینسانس (PL) نشان داد که لبه جذب و قله گسیل نانوذرات CdTe، از نزدیک آبی به نزدیک قرمز جابجا شده‌اند. با رشد CdS اطراف نانوذرات CdTe یک جابجایی قرمز در طیف جذب و گسیل مشاهده شد. بازدهی کوانتمی فوتولومینسانس (PL) برای نانوذرات CdTe و نانوذرات هسته-پوسته CdTe@CdS به ترتیب 23% و 38% به‌دست آمد. در مرحله رشد پوسته CdS، افزایش ضخامت پوسته CdS تنها با افزایش زمان تابش مایکروویو امکان‌پذیر است، که این تغییرات منجر به جابجایی قرمز لبه باند و جابجایی طیف PL به‌سمت طول موج‌های بلندتر می‌شود.

وازگان کلیدی: فوتولومینسانس، CdTe@CdS، CdTe، تابش مایکروویو

آ

فهرست مطالب

صفحه	عنوان
	فصل اول
۱	مقدمه
۱	فصل دوم
۳	مبانی نورتابی، روش‌های ساخت و کاربردهای نانومواد
۳	۱-۱- مقدمه
۴	۲-۲- نوارهای انرژی در مواد نیم‌رسانا
۴	۳-۲- نورتابی
۶	۴-۳-۲- فوتولومینسانس (نورتابی با فوتون)
۶	۵-۱-۳-۲- انواع فوتولومینسانس
۶	۶-۱-۱-۳-۲- تابش خود به خودی
۷	۷-۱-۱-۳-۲- فلورسانس
۷	۸-۱-۱-۳-۲- فسفرسانس
۸	۹-۲-۳-۲- الکترولومینسانس (نورتابی الکتریکی)
۹	۱۰-۳-۲- کاتدالومینسانس (نورتابی کاتدی)
۱۰	۱۱-۴-۲- نورتابی سیستم‌های نانوساختار
۱۰	۱۲-۴-۲- نانوساختارهای دوبعدی
۱۰	۱۳-۴-۲- نانوساختارهای یک بعدی
۱۰	۱۴-۴-۲- نانوساختارهای بدون بعد
۱۲	۱۵-۴-۵-۲- فرایند واهلش اکسیتون‌ها
۱۳	۱۶-۴-۵-۲- گسیل لبه نواری
۱۵	۱۷-۴-۵-۲- گسیل فعال‌ساز
۱۵	۱۸-۴-۵-۲- تبدیل داخلی
۱۵	۱۹-۴-۵-۲- تبدیل خارجی
۱۶	۲۰-۴-۵-۲- بازترکیب اوژه
۱۶	۲۱-۴-۵-۲- رشد کلوپیدی نانوذرات نیم‌رسانا
۱۶	۲۲-۴-۵-۲- نقش عامل‌های پوششی در تولید نانوذرات
۱۹	۲۳-۴-۵-۲- نانوذرات هسته-پوسته (core-shell)

ب

صفحه	عنوان
۲۲	۱-۸-۲-دلایل تشکیل پوسته بروی هسته:
۲۳	۲-۸-۲-مزایای استفاده از پوسته نانوذرهای بهجای مولکولهای آلی:
۲۴	۱-۹-۲-رویکرد بالا به پایین.....
۲۴	۲-۹-۲-رویکرد پایین به بالا.....
۲۷	۳-۹-۲-سنتر با تابش مایکروویو.....
۲۷	۱-۳-۹-۲-تاریخچه.....
۲۸	۲-۳-۹-۲-تئوری مایکروویو.....
۲۸	۳-۳-۹-۲-شرحی بر مایکروویو.....
۲۹	۴-۳-۹-۲-فرایند گرمادهی مایکروویو به ماده.....
۳۱	۵-۳-۹-۲-علت افزایش سرعت واکنش با مایکروویو.....
۳۳	۱۰-۲-کاربردهای نانوذرات نیمرسانا.....
۳۳	۱-۱۰-۲-نstanگرهای بیولوژیکی.....
۳۴	۲-۱۰-۲-دیودهای نور-گسیل
۳۴	۳-۱۰-۲-عناصر مدارهای نوری
۳۴	۴-۱۰-۲-مولدهای انرژی خورشیدی.....
۳۵.....	فصل سوم.....
۳۵.....	نانوساختارهای کادمیم تلوراید و مروری بر پژوهش‌های انجام شده.....
۳۵	۱-۳-مقدمه
۳۶	۲-۳-مروری بر پژوهش‌های انجام شده
۵۳.....	فصل چهارم
۵۳.....	مواد و روش‌ها.....
۵۳	۱-۴-مقدمه
۵۳	۴-۲-مواد و دستگاههای مورد استفاده برای انجام آزمایش‌ها
۵۴	۴-۳-رشد نانوذرات کادمیم تلوراید (CdTe) به روش تابش مایکروویو
۵۴	۱-۳-۴-مقدمه
۵۵	۲-۳-۴-جزئیات آزمایش
۵۵	۱-۲-۳-۴-سنتر نانوذرات CdTe
۵۸	۲-۲-۳-۴-سنتر نانوذرات هسته-پوسته CdTe@CdS

٦١.....	فصل پنجم
٦١.....	نتایج و بحث
٦١.....	١-۱-مقدمه
٦١.....	٢-نتایج حاصل از آنالیز نانوذرات CdTe
٦١.....	٣-آنالیز XRD
٦٢.....	٤-آنالیز HR-TEM
٦٣.....	٥-آنالیز UV و PL
٦٧.....	٦-نتایج حاصل از آنالیز نانوذرات هسته-پوسته CdTe@CdS
٦٧.....	٧-آنالیز XRD
٦٨.....	٨-آنالیز HR-TEM
٦٩.....	٩-آنالیز UV و PL
٧٠.....	١٠-بازدهی کوانتومی نورتابی (PL QY)
٧٢.....	١١-نتیجه‌گیری
٧٢.....	١٢-پیشنهادها
٧٣.....	منابع

فهرست شکل‌ها

عنوان	صفحة
شکل ۲-۱) نمایش تراز انرژی برای نیم‌رساناهای دارای گاف انرژی (a) مستقیم (b) غیرمستقیم [۴۱]	۵
شکل ۲-۲) نمایش طرحواره از نورتابی با فوتون [۳۸]	۶
شکل ۲-۳) فرایند جذب و تابش خود به خودی یک فوتون	۷
شکل ۲-۴) مقایسه حالت‌های فلورسانس و فسفرسانس [۳۸]	۸
شکل ۲-۵) نمایش طرحواره نورتابی الکتریکی [۴۲]	۹
شکل ۲-۶) نمایش طرحواره از نورتابی کاتدی [۴۲]	۹
شکل ۲-۷) (۱) توصیف الگووار سیستم‌های ۰D(d), ۱D(c), ۲D(b), ۳D(a) (۲) چگالی حالت انرژی برای سیستم‌های ۳D [۳۸]	۱۲
شکل ۲-۸) نورتابی با فوتون و جابجایی استوکس [۳۸]	۱۳
شکل ۲-۹) عامل‌های پوششی (تیول‌ها) در رشد آبی نانوذرات	۱۷
شکل ۲-۱۰) مراحل رشد و هسته‌سازی نانوذرات	۱۷
شکل ۲-۱۱) (الف) بهم‌چسبیدگی خوش‌های اولیه در مراحل جوانه‌زنی، (ب) جدا شدن ذرات و تشکیل نانوذرات اولیه	۱۸
شکل ۲-۱۲) سطح روی نانوذرات CdTe پوشانده شده با عامل پوششی	۱۹
شکل ۲-۱۳) نانوذرات هسته-پوسته نوع اول و دوم	۲۰
شکل ۲-۱۴) نانوذرات هسته-پوسته CdTe/CdS نوع دوم و بازترکیب مستقیم و غیر مستقیم (a) نانوذرات هسته-پوسته CdTe/ZnS نوع اول (b)	۲۱
شکل ۲-۱۵) پوشش آلی نانوذرات (a) پوشش غیر آلی (b) و مقایسه گاف انرژی نانوذرات هسته-پوسته	۲۳
شکل ۲-۱۶) طیف الکترومغناطیسی [۱۱]	۲۸
شکل ۲-۱۷) فیزیک مایکروویو [۱۱]	۲۹
شکل ۲-۱۸) سنتز شیمیایی با گرمادهی [۱۱]	۲۹
شکل ۲-۱۹) طرحواره‌ای از نمونه گرم شده با مایکروویو [۱۱]	۳۰
شکل ۲-۲۰) مشخصات تراز انرژی واکنش [۱۱]	۳۱
شکل ۳-۱) (A) طیف جذب (UV-Vis) و (B) طیف PL نانوذرات هسته-پوسته CdTe@CdS سنتز شده در فاز آبی	۳۷

شکل ۲-۳) تغییر رنگ آبی قله گسیل نانوذرات هسته-پوسته CdTe@CdS (a) و نانوذرات CdTe پوشیده شده با تیوگلیکولیک اسید (b) در طی زمانهای مختلف حرارتدهی.....	۳۸.....
شکل ۳-۳) طیف PL نانوذرات CdTe پس از مدت زمانهای مشخص شده.....	۴۰.....
شکل ۴-۳) مقادیر توده‌ای موقعیت لبه نواری و شکافهای نواری نانوذرات هسته-پوسته نوع II CdTe@CdS و CdTe@CdS	۴۱.....
شکل ۳-۵) مقایسه طیف PL نانوذرات (A) CdTe@CdS (B) و CdTe@CdSe (A) با طیف CdTe(a) PL نانوذرات	۴۱.....
شکل ۶-۳) تصویر HRTEM و نمودار هیستوگرام توزیع اندازه نانوذرات (A). CdTe (A), CdTe (B), CdTe@CdS (C) و CdTe@CdSe	۴۲.....
شکل ۷-۳) الگوهای پراش پرتو ایکس برای نانوذرات CdTe@CdSe, CdTe@CdS, CdTe	۴۳.....
شکل ۸-۳) طیف فوتولومینسانس نانوذرات هسته-پوسته CdTe@CdS با نسبت‌های مولی متفاوت	۴۴.....
شکل ۹-۳) طیف (PL) نمونه با نسبت‌های مولی متفاوت هسته-پوسته CdTe@CdS	۴۵.....
شکل ۱۰-۳) طیف جذبی نانوذرات هسته-پوسته CdTe@CdS با نسبت‌های مولی مختلف	۴۶.....
شکل ۱۱-۳) اختلاف میان قله PL و اولین اکسیتون نمونه‌های آزمایش شده	۴۷.....
شکل ۱۲-۳) طیف جذبی و PL برای نانوذرات تهیه شده با مایکروویو برای دمای ۱۰۰ درجه سانتیگراد (a) و ۱۲۰ درجه سانتیگراد (b)	۴۸.....
شکل ۱۳-۳) طیف PL، بازدھی کوانتمی، FWHM(nm) نانوذرات هسته-پوسته CdTe@CdS	۴۹.....
شکل ۱۴-۳) نمایی از تابش نانوذرات هسته-پوسته CdTe@CdS که در معرض تابش نور UV قرار گرفته‌اند.	۵۰.....
شکل ۱۵-۳) طیف XRD نانوذرات CdTe و نانوذرات CdTe@CdS با ساختار مکعبی	۵۱.....
شکل ۱۶-۳) تصاویر TEM (a)، HRTEM (b) و توزیع اندازه نانوذرات CdTe@CdS هسته-پوسته (c)	۵۱.....
شکل ۱-۴) نمایی از پوشاندن سطح نانوذره با مولکول‌های آلی [۹]	۵۵.....
شکل ۲-۴) نمایی از تولید محلول NaHTe درون سرنگ	۵۶.....
شکل ۳-۴) نمایی از تولید نانوذرات CdTe	۵۷.....
شکل ۴-۴) یک سیستم مایکروویو	۵۷.....

صفحه	عنوان
------	-------

شکل ۴-۵) نمایی از نانوذرات CdTe تولید شده با زمان‌های مختلف تابش مایکروویو ۵۸	شکل ۱-۵) الگوی پراش پرتوی ایکس نانوذرات سنتز شده CdTe با تابش مایکروویو به مدت Min ۷۰
۶۲ ۶۲	
شکل ۲-۵) (a) تصویر HRTEM و (b) نمودار هیستوگرام توزیع اندازه نانوذرات CdTe با تابش مایکروویو به مدت ۷۰ Min ۶۳	شکل ۳-۵) طیف جذبی و طیف فوتولومینسانس (PL) نانوذرات CdTe با تابش مایکروویو به مدت ۷۰ Min ۶۴
۶۵ ۶۵	
شکل ۴-۵) طیف جذبی و (b) نمودار اندازه شکاف انرژی نانوذرات CdTe با زمان‌های مختلف تابش مایکروویو ۶۵	شکل ۵-۵) طیف فوتولومینسانس (PL) نانوذرات CdTe با زمان‌های مختلف تابش مایکروویو ۶۶
۶۷ ۶۷	
شکل ۶-۵) نور گسیلی نانوذرات سنتز شده CdTe در زمان‌های مختلف تابش مایکروویو(طول موج UV تحریک کننده، ۳۶۵ nm) ۶۸	شکل ۷-۵) الگوی پراش پرتو ایکس نانوذرات CdTe و نانوذرات هسته-پوسته CdTe@CdS ۶۸
۶۹ ۶۹	
شکل ۸-۵) (a) تصویر HRTEM و (b) نمودار هیستوگرام توزیع اندازه نانوذرات هسته-پوسته CdTe@CdS ۷۰	شکل ۹-۵) (a) طیف جذبی و (b) طیف PL نانوذرات CdTe و نانوذرات هسته-پوسته CdTe@CdS ۷۰
۷۱ ۷۱	
شکل ۱۰-۵) (a) طیف جذبی و (b) طیف PL نانوذرات هسته-پوسته CdTe@CdS با زمان‌های مختلف تابش مایکروویو ۷۱	شکل ۱۱-۵) نور گسیلی نانوذرات هسته-پوسته CdTe@CdS در زمان‌های مختلف تابش مایکروویو ۷۱

فصل اول

مقدمه

در سالهای اخیر فعالیت‌های پژوهشی در زمینه نانوئیم‌رساناهای به علت کاربرد این مواد در قطعات الکترونیکی و اپتیکی مورد توجه بسیار قرار گرفته است [۳۸]. به دلیل بازدهی کوانتمی زیاد و چند منظوره بودن، نانوذراتی مانند کادمیم تلواید (CdTe) کاربردهای گسترده‌ای پیدا کرده‌اند. از آنجاکه مواد نانوساختار ابعاد ۱-۱۰۰ nm را دارند، بررسی رفتار این نانوساختارها بر اساس تئوری مکانیک کوانتمی استوار می‌باشد [۳۹]. نانوساختارها به علت محدودیت ابعاد به سه دسته تقسیم می‌شوند:

۱- نانوساختارهای صفر بعدی مانند نانوذرات، نانوپودرها و نانوخوشده‌ها

۲- نانوساختارهای یک بعدی مانند نانوسيم‌ها، نانوتیوب‌ها و نانومیله‌ها

۳- نانوساختارهای دو بعدی مانند نانوفیلم‌ها یا صفحات نانویی

نانوئیم‌رساناهای ویژگی‌های نورتابی غیرمعمولی را به دلیل اثر محدودیت کوانتمی^۱ از خود نشان می‌دهند [۳۸]. کادمیم تلواید یکی از مهم‌ترین نیم‌رساناهای کشف شده است. این ماده یک نیم‌رسانا از گروه II-VI با ویژگی فیزیکی قابل توجه و شکاف انرژی $1/44\text{ eV}$ در دمای اتاق است. ترکیبات II-VI به طور کلی دارای شکاف نواری پهن، جرم مؤثر و انرژی اکسیتیون بزرگتری هستند [۱]. نانوبلورهای ZnS و CdS و CdTe به خاطر کاربردشان در دستگاه‌های الکترونیکی، اپتیکی و سلول‌های خورشیدی توجه زیادی را به خود جلب کرده‌اند [۴-۲].

^۱Quantum confinement

سنتز نانوذرات کادمیم تلوراید با تابش امواج مایکروویو و بررسی...

روش‌های متعددی برای تهیه و ساخت مواد نانو وجود دارد که برخی از آنها عبارتند از: روش قوس الکتریکی^۱، سل-ژل^۲، سونو شیمی^۳، احیاء شیمیایی^۴، هیدروترمال^۵ یا سولوترمال^۶ . . . [۶-۵]. اخیراً تابش مایکروویو به عنوان یک روش جدید و مورد علاقه، توجه زیادی را به خود جلب کرده است.

اگرچه سنتز نانوییم رساناهای گروه II-VI^۷ پوشیده شده با تیول‌ها در محیط آبی جایگزین مناسبی برای واکنش‌های آلی-فلزی محسوب می‌شود اما دسترسی گسترده به این نانوذرات دشوار است. از این‌رو رشد پوسته‌های پلیمری روی سطح نانوذرات هسته می‌تواند راهکار مناسبی برای بهبود سازگاری زیستی این نانوذرات بهشمار رود [۷]. رشد این پوسته‌ها موجب افزایش اندازه نانوذرات می‌گردد و باعث افزایش خاصیت نورتابی آن‌ها می‌شود.

روش سنتز نانوذرات در این پژوهش، جزو روش‌های پایین به بالای تابش امواج مایکروویو است. در این روش از یک ماده به عنوان منبع تولید کننده یون Te و از دو ماده دیگر به عنوان منبع تولید کننده یون‌های Cd و S استفاده می‌شود. از یک مولکول آلی برای پوشیدن سطح نانوذرات و ممانعت از رشد بی‌رویه آن‌ها استفاده می‌شود که این مولکول با ایجاد بار منفی دور ذرات منجر به دافعه بین آن‌ها و لذا جلوگیری از رشد بی‌رویه و رفتگی به حالت توده می‌شود.

در فصل دوم مبانی نورتابی، روش‌های ساخت و کاربردهای نانومواد مورد بحث قرار می‌گیرد. در فصل سوم به مروری بر پژوهش‌های انجام شده در زمینه نانوساختارهای کادمیم تلوراید و نانوذرات هسته-پوسته CdTe@CdS پرداخته می‌شود. در فصل چهارم مواد و روش‌ها و در فصل پنجم نتایج و بحث و در آخر هم نتیجه‌گیری کلی گرفته می‌شود.

^۱Arc Discharge

^۲Sol-gel

^۳Sonochemical

^۴Chemical Reduction

^۵Hydrothermal

^۶solvothermal

^۷Thiol

۱-۱-۲-مقدمه

نانوساختارها موادی هستند که ساختار آن‌ها در یک یا چند بعد از ماده، در بازه $1\text{-}100\text{ nm}$ می‌باشد. با کاهش اندازه در حدود نانومتری از محدوده مکانیک کلاسیک به مکانیک کوانتومی وارد می‌شویم و در نتیجه در این محدوده مواد رفتارهای کوانتومی دارند. خواص فیزیکی و شیمیایی این مواد نسبت به حالت توده تغییرات چشمگیری پیدا می‌کند [۳۸]. به علت محدودیت کوانتومی، کاهش ابعاد یک نیم‌رسانا در مقایسه با، یا کمتر از شعاع بوهر به صورت خیلی مؤثر بر روی گاف انرژی تأثیرگذار است. بنابراین یک روش برای تنظیم گاف، اندازه نانوکربیستال است. این مشخصات به صورت قابل توجهی که متفاوت با مشخصات حالت توده است، زمینه‌های کاربردی نانونیم‌رساناهای را افزایش داده است که شامل اپتوالکترونیک، کاتالیست، فتوولتایی [۴۰]، نمایشگرهای LED برچسب‌های زیستی، حسگرهای خورشیدی، لیزرهای نقاط کوانتومی، آشکارسازهای IR و تصویربرداری بیولوژیکی می‌باشد [۳۸]. نانوذرات یا نانوبلورها دسته‌ی مهمی از نانوساختارها هستند که چنان‌چه دارای قطر $1\text{-}30\text{ nm}$ باشند نقاط کوانتومی نامیده می‌شوند.

فصل دوم

مبانی نورتابی، روش‌های ساخت و کاربردهای نانومواد

۲-۲-نوارهای انرژی در مواد نیمرسانا

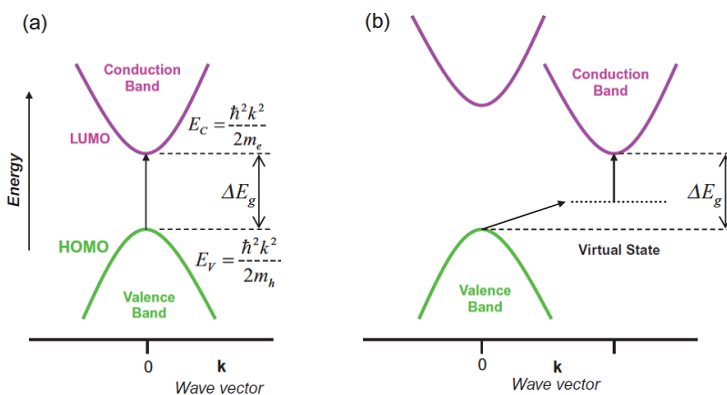
در مواد جامد توده، به دلیل همپوشانی توابع موج الکترون با توابع موج الکترون‌های اتم‌های همسایه، به جای آن که الکترون منحصر به یک اتم باشد در نواری از انرژی‌های قابل دسترس است. در نیمرساناها و نارساناها حالت پایه الکترون به الکترون‌ها در نوار ظرفیت اطلاق می‌شود که با این الکترون‌ها به طور کامل پر شده است. در فلزات نوارهای ظرفیت و رسانش یا همپوشانی کرده و یا فقط به طور نسبی پر هستند [۳۸].

مواد نیمرسانا در صفر کلوین ساختار مواد نارسانا را دارند، یعنی یک نوار ظرفیت پر که با یک گاف انرژی که خالی از تراز انرژی مجاز می‌باشد از نوار رسانش جدا شده است. حالت کوانتموی برانگیخته اغلب در نوار رسانش قرار دارد که خالی است و با یک گاف انرژی از نوار ظرفیت جدا شده است. گاف انرژی یک ماده نیمرسانا به‌گونه‌ای است که در دمای اتاق تعداد کمی الکترون از نوار ظرفیت برانگیخته می‌شوند و به نوار رسانش می‌روند و حفره‌ای را در نوار ظرفیت برجای می‌گذارند [۳۸].

۳-۲-نورتابی

وقتی الکترونی در یک نیمرسانا برانگیخته شود، سپس فرایند واهلش صورت گرفته و نوری را گسیل می‌کند که به این فرآیند نورتابی می‌گویند. برانگیختن الکترون در یک نیمرسانا، به سبب جذب انرژی از یک منبع خارجی مثل الکترون دیگر، فوتون و یا میدان الکتریکی رخ می‌دهد. الکترون برانگیخته، حالت کوانتموی که انرژی بالاتری از حالت پایه انرژی مینیمم را دارد، اشغال می‌کند. در یک نیمرسانا حالت پایه الکترونی معمولاً به الکترون‌ها در تراز رسانش قرار می‌گیرد که خالی است و توسط گاف انرژی از نوار ظرفیت جدا شود بنابراین مینیمم انرژی برابر با گاف انرژی، برای تحریک یک الکترون درون نیمرسانا لازم است.

شکل (۱-۲)(a) نمودار تراز انرژی برای یک نیمرسانا با گاف انرژی مستقیم را نشان می‌دهد. در نیمرساناهای با گاف انرژی مستقیم، مکان‌های بالاترین حالت انرژی تراز ظرفیت (بالاترین اوربیتال مولکولی اشغال شده HOMO) و پایین‌ترین حالت انرژی تراز رسانش تا حد زیادی اشغال نشده (پایین‌ترین اوربیتال مولکولی غیر اشغال LUMO) در یک مقدار K از محور بزرگی بردار موج، قرار دارند و در نتیجه دارای احتمال بالای گسیل نور می‌باشند.



شکل ۲-۱) نمایش تراز انرژی برای نیمرساناهای دارای گاف انرژی (a) مستقیم (b) غیرمستقیم [۴۱]

برای یک نیمرسانای با گاف انرژی غیرمستقیم نشان داده شده در شکل ۲-۱(a)(b)، ماکزیمم تراز طرفیت و مینیمم تراز رسانش مقدار متفاوت K را دارا می‌باشند. بنابراین، الکترون‌ها علاوه بر تغییر انرژی، احتیاج به تغییر در مقدار K را دارند. از این‌رو انتقال، احتیاج به تغییر در تکانه و انرژی دارد. به عبارت دیگر یک انتقال غیرمستقیم احتیاج به تحریک انرژی از یک الکtron، هم‌زمان با یک برهم‌کنش الکtron-فونون برای به دست آوردن تغییر تکانه دارد بدین علت، بازدهی جذب و بازترکیب مواد با گاف انرژی مستقیم، تقریباً چهار بزرگ‌تر از مواد با گاف انرژی غیرمستقیم است [۴۱].

همانطور که ذکر شد، نورتابی از نیمرساناهای توسط تحریک الکtron به حالات انرژی بالاتر مشاهده می‌شود. چندین راه برای رسیدن به این برآنگیزش وجود دارد [۴۱]. از جمله آن‌ها، می‌توان به موارد زیر اشاره کرد:

-	فوتولومینسانس (PL) ^۱
-	الکترولومینسانس (EL) ^۳
-	کاتدولومینسانس (CL) ^۱

^۱Photoluminescence

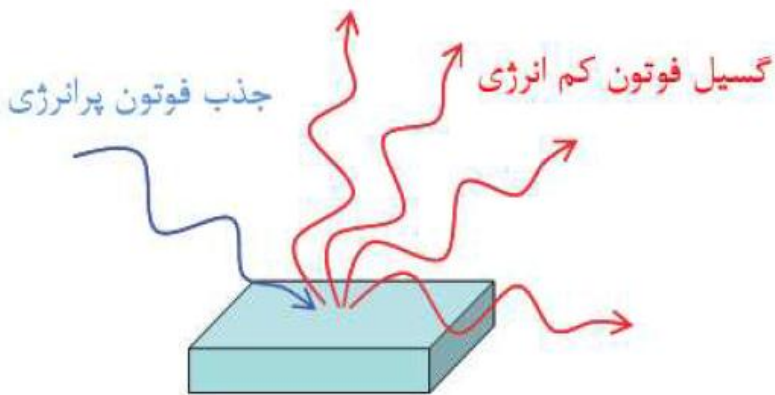
^۲Mechanoluminescence

^۳Electroluminescence

^۴Thermoluminescence

۲-۳-۱-فوتولومینسانس (نورتابی با فوتون)

فوتولومینسانس (PL) فرآیندی است که فوتون‌های فرودی (تابش الکترومغناطیس) توسط ماده جذب می‌شود و پس از زمان کوتاه، فوتون تابش می‌شود. از دید مکانیک کوانتمی این فرآیند، برانگیختگی به انرژی بالا و سپس برگشت به انرژی پایین با تابش فوتون توصیف می‌شود. این پدیده یکی از شکل‌های نورتابی است که بصورت فتوالقاییدگی (برانگیختگی توسط نور) بیان می‌شود. شدت (PL) بستگی به دمای اندازه‌گیری نمونه و انرژی نور برانگیختگی دارد.



[۳۸] شکل ۲-۲) نمایش طرحواره از نورتابی با فوتون

حالتهای انرژی موجود و گذارهای مجاز بین حالت‌ها (و بنابراین طول موج‌های نوری که جذب و تابش می‌شود) توسط قوانین مکانیک کوانتمی تعیین می‌شود. فهم دقیق از این فرآیند نیازمند مطالعه پیکربندی‌های الکترون‌ها و اوربیتال‌های مولکولی اتم‌های ساده و مولکول‌ها است [۴۰].

۲-۳-۱-۱-آنواع فوتولومینسانس

با توجه به طول عمر ترازهای برانگیختگی سه نوع فوتولومینسانس خواهیم داشت.

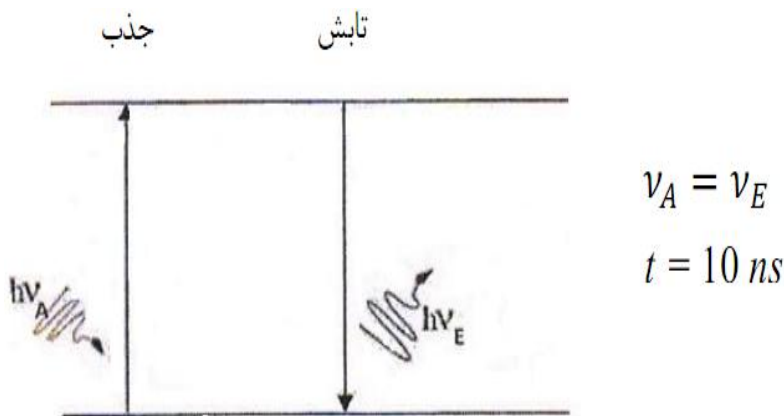
۲-۳-۱-۱-۱-تابش خود به خودی

تابش خود به خودی ساده‌ترین نوع فوتولومینسانس است که پس از جذب فوتونی خاص درست همان فوتون به صورت خیلی سریع تابش می‌شود. این فرآیند شامل هیچ گذار انرژی داخلی قابل

^۴Cathodoluminescence

^۵Chemiluminescence

توجهی نمی‌باشد و زمان بین جذب و تابش از مرتبه 10 ns است. در شکل (۳-۲) این فرایند به صورت طرح‌وار نمایش داده شده است [۴۰].



شکل ۳-۲) فرایند جذب و تابش خود به خودی یک فوتون

۲-۱-۳-۲-فلورسانس

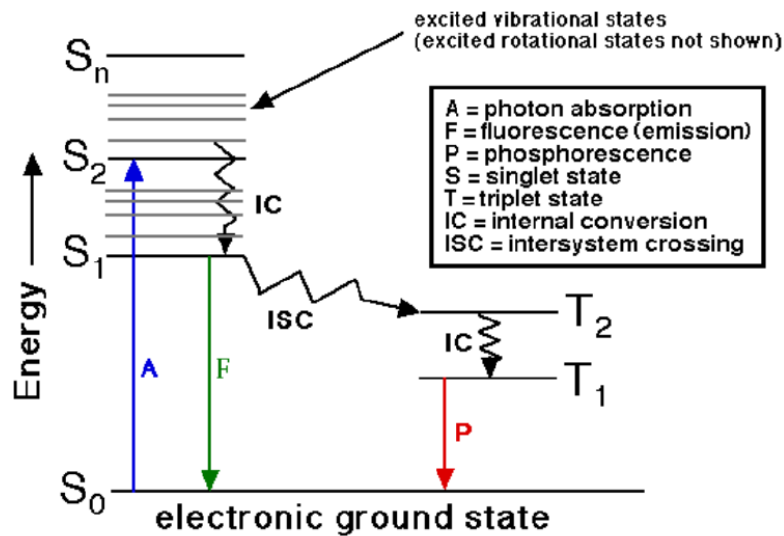
برای اولین بار جورج استوکس در اوایل سال ۱۸۰۰ میلادی دریافت که فلوریت (نوعی سنگ) در نتیجه قرار گرفتن در معرض تابش نور فرابنفش خورشید، رنگ فلورسنست آبی از خود نشان می‌دهد. پس از مطالعات جامع نام فلورسانس از کانی فلوریت الهام گرفت. بر این اساس کانی‌ها و موادی که این ویژگی را به نمایش می‌گذارند فلورسنست نامیده می‌شوند. در این فرایند وقتی که ماده تحت تابش قرار می‌گیرد درست قبل از گسیل، تحت گذارهای داخلی قرار می‌گیرد. آشناترین این اثر، فلورسانس است که یک فرایند سریع است. در این فرایند انرژی اتلاف می‌شود و طول موج فوتون‌های گسیل شده از طول موج فوتون‌های جذب شده بزرگتر است. این فوتون‌های تولید شده دچار انتقال قرمز می‌شوند. در این اثر گذار با حالت‌هایی با اسپین صفر صورت می‌پذیرد. طول عمر در اینجا از مرتبه نانوثانیه است [۳۸].

۲-۱-۳-۳-فسفسانس

یک اتم برانگیخته می‌تواند در حالت سه‌تایی، انرژی برانگیختگی الکترونی خود را از طریق گسیل خود به خودی فوتون از دست بدهد و در نتیجه به یک حالت یکتایی پایه سقوط کند که این

سنتز نانوذرات کادمیم تلوراید با تابش امواج مایکروویو و بررسی ...

قاعده گزینش $\Delta S = 0$ را نقض می‌کند و احتمال وقوع بسیار کمی دارد. طول عمر حالت‌های فسفرسانسی در مرتبه‌ی میکروثانیه است و حتی گاهی به دقیقه و ساعت هم می‌رسد.

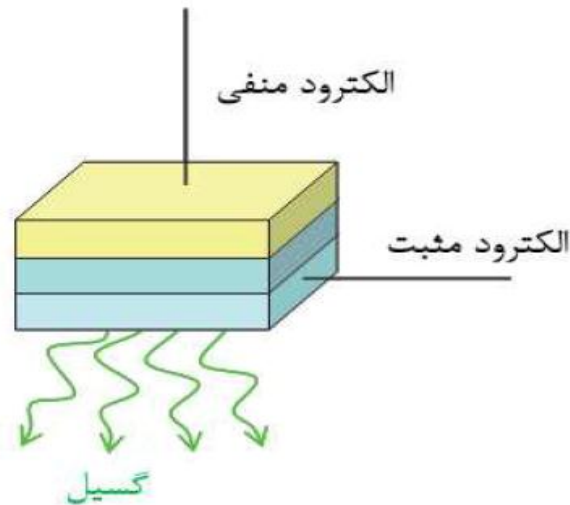


[۳۸] شکل ۲-۴) مقایسه حالت‌های فلورسانس و فسفرسانس

۲-۳-۲-الکترولومینسانس (نورتابی الکتریکی)

وقتی که ماده‌ای در نتیجه اعمال میدان الکتریکی، تابش الکترومغناطیسی گسیل می‌کند، فرایند را نورتابی الکتریکی یا EL می‌نامند. فوتون گسیل شده از بازترکیب تابشی الکترون‌ها و حفره‌های ایجاد شده در ماده نورتاب به وسیله اعمال ولتاژ بین دو الکترود ناشی می‌شود. یکی از الکترودها طول موج نور گسیل شده به وسیله دستگاه را عور می‌دهد و نسبت به آن شفاف است. استفاده از این روش برای مواد نورتاب به شکل لایه نازک مناسب است [۴۲].

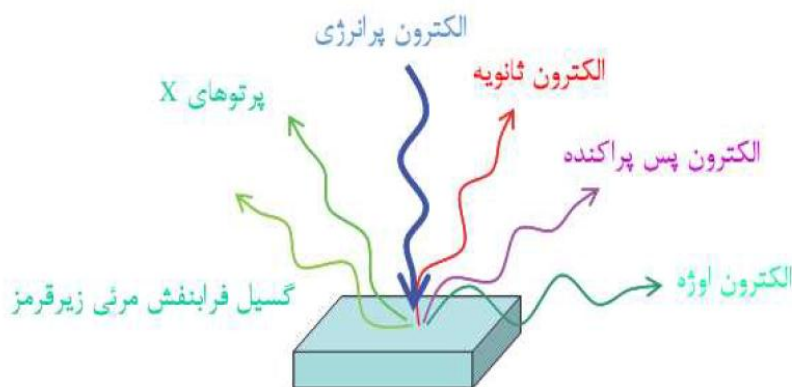
اولین گزارش از وسایل نورتاب الکتریکی در سال ۱۹۰۷ توسط هنری جوزف ارسال شد که نوری را از سیلیکون کاربید تحت ولتاژ بالا مشاهده کرد.



شکل ۲-۵) نمایش طرحواره نورتابی الکتریکی [۴۲]

۲-۳-۳-کاتدولومینسانس (نورتابی کاتدی)

در نورتابی کاتدی گسیل نور از ماده‌ای صورت می‌گیرد که به وسیله الکترون‌های پرانرژی برانگیخته می‌شود. الکترون‌های برانگیخته کننده اولیه را می‌توان در یک پرتو متمرکز و به این وسیله سطح ماده را روبش کرد. در نتیجه در این فرایند، گسیل‌های دیگری مانند اشعه X الکترون‌های اوژه، ثانویه و پسپراکنده نیز رخ می‌دهد.



شکل ۲-۶) نمایش طرحواره از نورتابی کاتدی [۴۲]